
Kap. 12:

Reziprokes Gitter und Brillouin-Zonen

12. Brillouinzone in 1D und 2D (1)

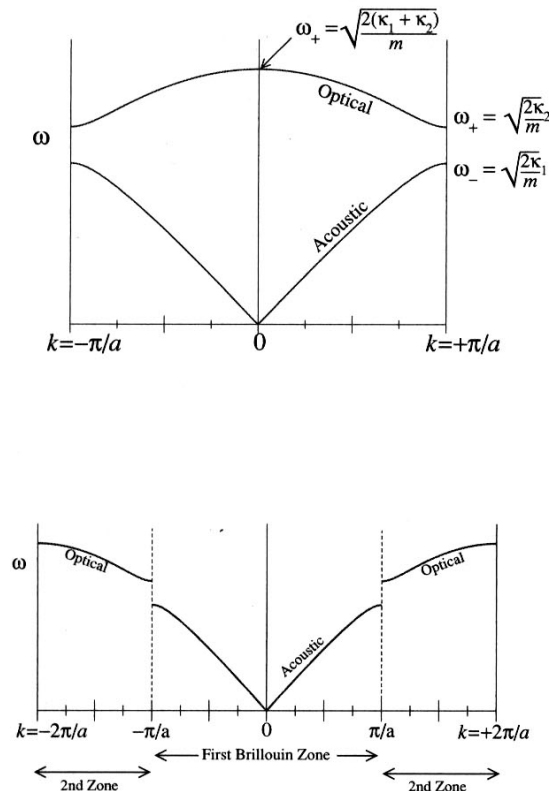


Fig. 13.4 Phonon spectrum of a diatomic chain in one dimension. **Top:** Reduced zone scheme. **Bottom:** Extended zone scheme. (See Figs. 10.6 and 10.8.) We can display the dispersion in either form due to the fact that wavevector is only defined modulo $2\pi/a$, that is, it is periodic in the Brillouin zone.

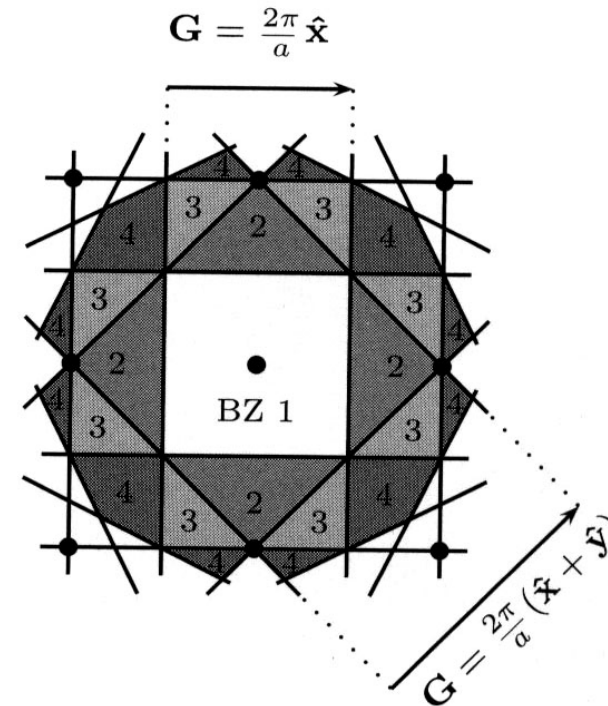


Fig. 13.5 First, second, third, and fourth Brillouin zones of the square lattice. All of the lines drawn in this figure are perpendicular bisectors between the central point $\mathbf{0}$ and some other reciprocal lattice point. Note that zone boundaries occur in parallel pairs symmetric around the central point $\mathbf{0}$ and are separated by a reciprocal lattice vector.

Definition des reziproken Gitters

1D Gitter: $R_n = n a \quad n = 0, \pm 1, \pm 2, \dots$

Rez. Gitter: $G_m = \frac{2\pi}{a} m \quad m = \dots$

eingef. wg. Äquivalenz von k -Werten $k \rightarrow k + G$

$$e^{ikx} \rightarrow e^{ikna} \stackrel{?}{=} e^{i(k+G_m)na} = e^{ikna} \cdot \underbrace{e^{iG_m na}}_1$$

f. $G_m = \frac{2\pi}{a} \cdot m$

3D Gitter: $\vec{R}_{n_1, n_2, n_3} = n_1 \vec{a}_1 + n_2 \vec{a}_2 + n_3 \vec{a}_3 \quad n_i = 0, \pm 1, \pm 2, \dots$

Rez. Gitter: $= \{ \vec{G} \}$, d.h. die gilt $e^{i \vec{G} \cdot \vec{R}} = 1$

Drei zentrale Aussagen zum reziproken Gitter

- (1) $\{\vec{R}\}$ beschr. Bravaisgitter $\Leftrightarrow \{\vec{G}\}$ ist ebenfalls Bravaisgitter im rez. Raum
- (2) Primitive Gittervektoren $\{\vec{a}_i\}$ und $\{\vec{b}_i\}$ können orthonormiert gewählt werden
 $\vec{a}_i \cdot \vec{b}_j = 2\pi \delta_{ij}$ $\delta_{ij} = \begin{cases} 1 & i=j \\ 0 & i \neq j \end{cases}$
- (3) Reziprokes Gitter = Fouriertransformierte
des direkten Gitters

Beweis von (2): mittels expliziter Konstruktionsvorschrift

$$\{\vec{a}_i\} \text{ gegeben} \rightarrow \vec{b}_1 := 2\pi \frac{\vec{a}_2 \times \vec{a}_3}{\vec{a}_1 \cdot (\vec{a}_2 \times \vec{a}_3)} = \frac{2\pi}{V_{PEZ}} \vec{a}_2 \times \vec{a}_3$$

$$\text{zykl. Vertauschen} \quad \vec{b}_2 = \frac{2\pi}{V_{PEZ}} \vec{a}_3 \times \vec{a}_1$$

$$\vec{b}_3 = \frac{2\pi}{V_{PEZ}} \vec{a}_1 \times \vec{a}_2$$

$$\vec{a}_1 \cdot \vec{b}_1 = \vec{a}_1 \cdot \frac{2\pi}{V_{PEZ}} (\vec{a}_2 \times \vec{a}_3) = 2\pi \quad \checkmark$$

$$\vec{a}_1 \cdot \vec{b}_2 = 0 \quad \text{f. alle Gitter!}$$

Beweis von (1): mittels Widerspruch

$$\{\vec{a}_i\} \text{ gegeben} \rightarrow \{\vec{b}_i\} \text{ berechnen} \rightarrow \vec{G} = m_1 \vec{b}_1 + m_2 \vec{b}_2 + m_3 \vec{b}_3$$

$$m = 0, \pm 1, \pm 2 \quad (\rightarrow \text{Bravaisgitter})$$

$$(m \in \mathbb{R} \rightarrow \text{kein Bravaisgitter})$$

$$\text{Def von } \{\vec{G}\}: e^{i \vec{G} \cdot \vec{R}} \stackrel{!}{=} 1$$

$$e^{i \left(\sum_{i=1}^3 m_i \vec{b}_i \right) \cdot \left(\sum_{j=1}^3 n_j \vec{a}_j \right)} \stackrel{!}{=} 1$$

$$e^{i \left(\sum_{i,j} m_i n_j \underbrace{\vec{b}_i \cdot \vec{a}_j}_{2\pi \delta_{ij}} \right)} = e^{i \left(2\pi \sum_{i=1}^3 m_i n_i \right)} \stackrel{!}{=} 1$$

$$\sum_{i=1}^3 m_i n_i \in \mathbb{Z}$$

Beweis von (3): unter Verwendung der Delta-Funktion

1D $F(k) = \int_{-\infty}^{\infty} dx e^{ikx} f(x) = FT(f(x))$

$f(x) = \frac{1}{2\pi} \int_{-\infty}^{\infty} dk e^{-ikx} F(k)$

Direktes Gitter $R_n = n a$

$$g(x) = \sum_n \delta(x - na)$$

Gitterdarstellung
im realen Raum

$$FT(g(x)) = \int dx g(x) e^{ikx}$$

$$= \sum_n \int dx e^{ikx} \delta(x - na)$$

$$= \sum_n e^{ikan}$$

Darstellung der δ -Fkt.

$$= \frac{2\pi}{a} \sum_m \delta(k - \frac{2\pi}{a} m)$$

Gitter im reziproken Raum

3D

$$F(\vec{k}) = F(k_1, k_2, k_3) = \int_{-\infty}^{\infty} dx_1 e^{ik_1 x_1} \int_{-\infty}^{\infty} dx_2 e^{ik_2 x_2} \int_{-\infty}^{\infty} dx_3 e^{ik_3 x_3} f(x_1, x_2, x_3)$$

$$F(\vec{k}) = \iiint dx_1 dx_2 dx_3 e^{i(k_1 x_1 + k_2 x_2 + k_3 x_3)} f(x_1, x_2, x_3) \\ = \int d^3x e^{i\vec{k} \cdot \vec{x}} f(\vec{x})$$

$$\uparrow \\ f(\vec{x}) = \frac{1}{(2\pi)^3} \int d^3k e^{-i\vec{k} \cdot \vec{x}} F(\vec{k})$$

Gitter:
$$\rho(\vec{x}) = \sum_{\vec{R}} \delta(\vec{x} - \vec{R})$$

$$\vec{R} = \vec{R}_{n_1, n_2, n_3} = n_1 \vec{a}_1 + n_2 \vec{a}_2 + n_3 \vec{a}_3$$

$$= \sum_{n_1} \sum_{n_2} \sum_{n_3} \delta(\vec{x} - \vec{R}_{n_1, n_2, n_3} \cdot \vec{e}_x) \cdot \delta(y - \vec{R}_{n_1, n_2, n_3} \cdot \vec{e}_y) \cdot \delta(z - \vec{R}_{n_1, n_2, n_3} \cdot \vec{e}_z)$$

$$FT(\rho(\vec{x})) = \int d^3x \rho(\vec{x}) e^{i\vec{k} \cdot \vec{x}} = \sum_{\vec{R}} e^{i\vec{k} \cdot \vec{R}} \quad \text{Danzl. } \delta\text{-Fkt.}$$

$$= \frac{(2\pi)^3}{V_{\text{BZ}}} \underbrace{\sum_{\vec{G}} \delta(\vec{k} - \vec{G})}$$

Gitter $\{\vec{G}\}$ im rec. Raum

Anmerkungen

1. Konsequenz der Fourier-Transformation

$$FT(FT(f(x))) = f(x)$$

Rec. Gitter vom rec. Gitter = urspr. Gitter

2. Fouriertransformation einer gitterperiodischen Funktion

$$f(\vec{x}) \equiv f(\vec{x} + \vec{R})$$

$$FT(f(\vec{x})) = \int_{\substack{\text{g.p.} \\ \text{Raum}}} d^3x e^{i\vec{k}\vec{x}} f(\vec{x}) = \sum_{\vec{R}} \int_{PEZ} d^3x e^{i\vec{k}\vec{x}} f(\vec{x}) \quad \vec{x} \rightarrow \vec{x} + \vec{R}$$

$$\sum_{\vec{R}} \int_{PEZ} d^3x e^{i\vec{k}(\vec{x} + \vec{R})} f(\vec{x})$$

$$\sum_{\vec{R}} e^{i\vec{k}\vec{R}} \underbrace{\int_{PEZ} d^3x e^{i\vec{k}\vec{x}} f(\vec{x})}_{S(\vec{k})}$$

$$= S(\vec{k}) \cdot \sum_{\vec{R}} e^{i\vec{k}\vec{R}}$$

$$= \frac{(2\pi)^3}{V_{PEZ}} \sum_{\vec{G}} S(\vec{k} - \vec{G}) \cdot S(\vec{k})$$

"Strahlteffektor"

Reziprokes Gitter und Netzebenen

Def.: Eine Gitterebene (Netzebene) enthält mindestens 3 nicht-kollineare Gitterpunkte

Def.: Eine Schar von Netzebenen ist ein abzählbar unendlich großer Satz äquidistanter, paralleler Netzebenen, der alle Gitterpunkte enthält.

2 Kernaussagen:

(1) Es gibt eine 1:1 - Korrespondenz von Netzebenenscharen und Punkten des reziproken Gitters (\rightarrow Vektoren \vec{G})

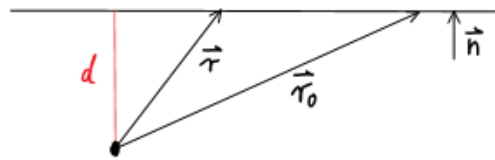
(2) Der Netzebenenabstand ist

$$d_{\text{Netzebene}} = \frac{2\pi}{|\vec{G}_{\text{Min}}|} \rightarrow \text{minimaler Vektor in jew. Richtung}$$

Beweis: Rez. Gitter def. über $e^{i \vec{G} \cdot \vec{r}} = 1 \iff \vec{G} \cdot \vec{r} = 2\pi m$, m ganz

aufgefasst als Problem der analyt. Geometrie:
welche \vec{r} erfüllen $\vec{G} \cdot \vec{r} = 2\pi m$? (\vec{G} , m vorgegeben)

Normalenform der Ebenengleichung: $(\vec{r} - \vec{r}_0) \cdot \vec{n} = 0$ $|\vec{n}| = 1$

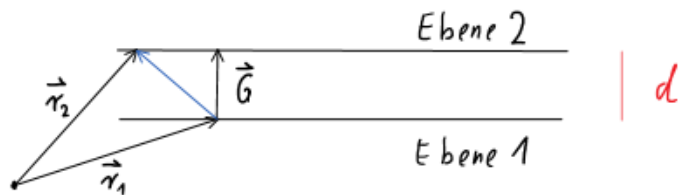


$$\vec{r} \cdot \vec{n} = \vec{r}_0 \cdot \vec{n} = d$$

Abstand der Ebene zum Ursprung

a) Sonderfall $m = 0$: $\vec{G} \cdot \vec{r} = 0$ Netzebene durch Ursprung,
 \vec{G} Normalenvektor zur Netzebene

b) Netzebenenschar: betrachte 2 benachbarte Netzebenen im Abstand d



Ebene 1 def. durch $\vec{G} \cdot \vec{r}_1 = 2\pi m$ (m fest)

" 2 " " $\vec{G} \cdot \vec{r}_2 = 2\pi (m+1)$

$$\vec{G} \cdot (\vec{r}_2 - \vec{r}_1) = 2\pi$$

$$|\vec{G}| \cdot d = 2\pi$$

Länge von \vec{G} wird dadurch festgelegt!

Da \vec{G} auf Punkte des rez. Gitters beschränkt:

$$d = \frac{2\pi}{|\vec{G}_{\min}|} = \frac{2\pi}{|\vec{G}_{hkl}|} \rightarrow h, k, l \text{ teilerfremd}$$

Beispiel: kubisches Gitter

$$\vec{a}_1 = a \vec{e}_x, \quad \vec{a}_2 = a \vec{e}_y, \quad \vec{a}_3 = a \vec{e}_z$$

zugehöriges reziprokes Gitter $\vec{b}_1 = \frac{2\pi}{V_{\text{PEZ}}} \vec{a}_2 \times \vec{a}_3 = \frac{2\pi}{a^3} a^2 \vec{e}_y \times \vec{e}_z = \frac{2\pi}{a} \vec{e}_x$

$$\vec{b}_2 = \frac{2\pi}{a} \vec{e}_y, \quad \vec{b}_3 = \frac{2\pi}{a} \vec{e}_z$$

Gittervektoren sind daher $\vec{G}_{hkl} = h \vec{b}_1 + k \vec{b}_2 + l \vec{b}_3$

mit h, k, l ganz

z. B. $\vec{G}_{001} = \vec{b}_3$

$$d_{001} = \frac{2\pi}{|\vec{G}_{\min}|} = \frac{2\pi}{|\vec{G}_{001}|} = \frac{2\pi}{2\pi/a} = a \quad \checkmark$$

allgemein gilt für den Netzebenenabstand im kubischen Gitter:

$$\vec{G}_{hkl} = \frac{2\pi}{a} (h \vec{e}_x + k \vec{e}_y + l \vec{e}_z)$$

$$|\vec{G}_{hkl}|^2 = \left(\frac{2\pi}{a}\right)^2 (h^2 + k^2 + l^2)$$

$$d_{hkl} = \frac{2\pi}{\frac{2\pi}{a} \sqrt{h^2 + k^2 + l^2}} = \frac{a}{\sqrt{h^2 + k^2 + l^2}}$$

12. Brillouinzone in 3D (2)

Direktes Gitter fcc



bcc im rez. Raum

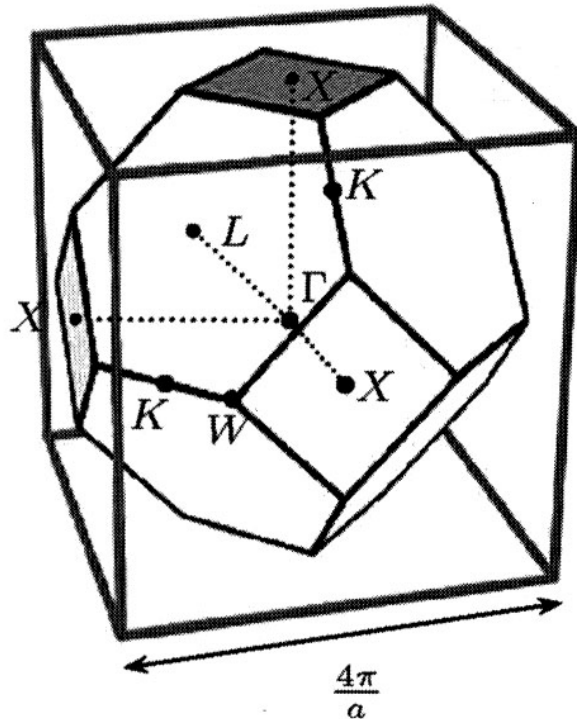


Fig. 13.6 First Brillouin zone of the fcc lattice. Note that it is the same shape as the Wigner–Seitz cell of the bcc lattice, see Fig. 12.13. Special points of the Brillouin zone are labeled with code letters such as X , K , and Γ . Note that the lattice constant of the conventional unit cell is $4\pi/a$ (see Exercise 13.1).

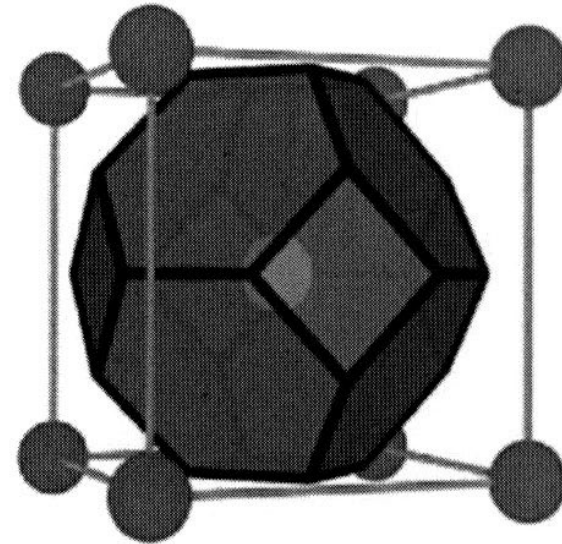


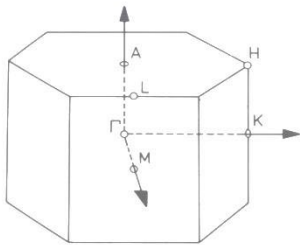
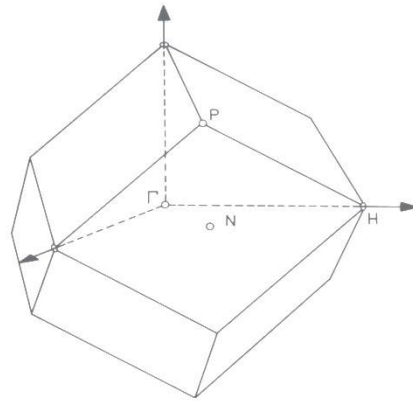
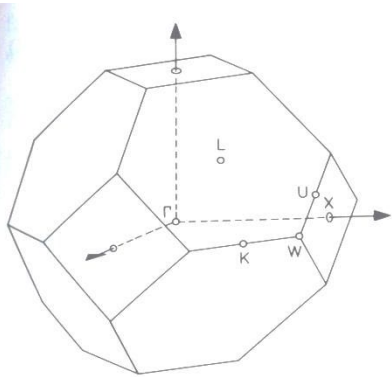
Fig. 12.13 The Wigner–Seitz cell of the bcc lattice (this shape is a “truncated octahedron”). The hexagonal face is the perpendicular bisecting plane between the lattice point (shown as a sphere) in the center and the lattice point (also a sphere) on the corner. The square face is the perpendicular bisecting plane between the lattice point in the center of the unit cell and a lattice point in the center of the neighboring

12. Brillouin-Zonen in 3D (3)

Brillouin-Zonen:

fcc Gitter

bcc Gitter



hexagonal

Bezeichnungen:

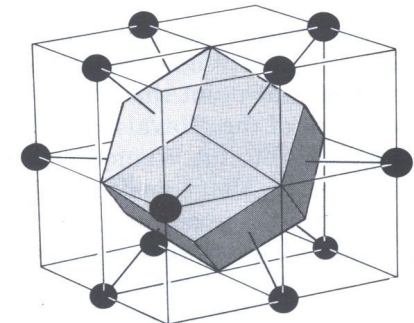
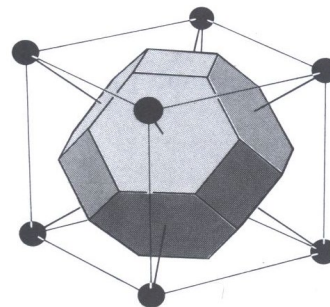
Punkte hoher Symmetrie: Γ , L, X etc.

Γ : Zonenzentrum,
d. h. Ursprung des reziproken Gitters.

Vergleiche: Wigner-Seitz-Zellen des direkten Gitters:

bcc

fcc



Brillouinzone

→ Darstellung von Wellen (+ Eigenschaften) in periodischen Systemen



Def. Brillouinzone: PEZ des reziproken Gitters

insbesondere: 1. BZ = Wigner-Seitz-Zelle des rez. Gitters

12. Brillouinzonen in 3D : Darstellung von Anregungen (4)

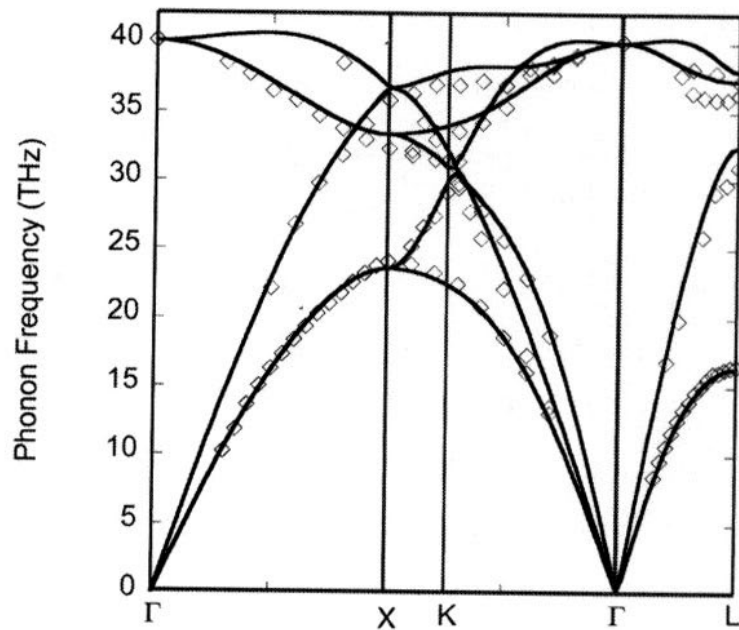


Fig. 13.8 Phonon spectrum of diamond (points are from experiment, solid line is a modern theoretical calculation). Figure is from A. Ward et al., *Phys. Rev. B* **80**, 125203 (2009), <http://prb.aps.org/abstract/PRB/v80/i12/e125203>, Copyright American Physical Society. Used by permission.

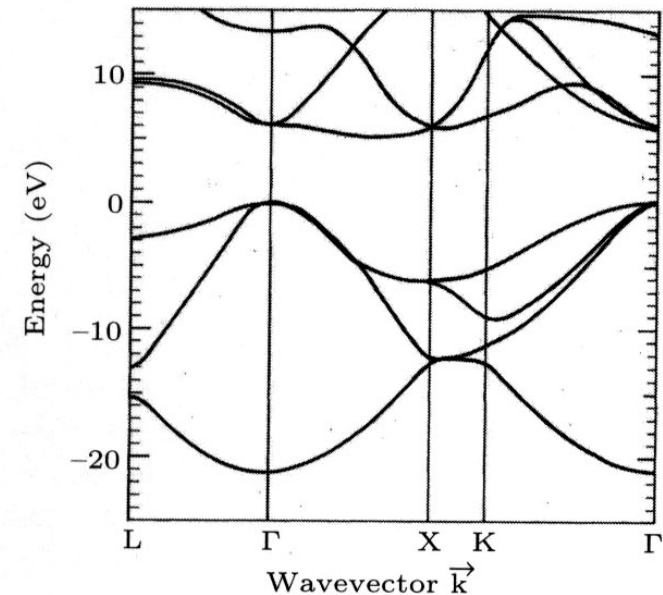


Fig. 13.7 Electronic excitation spectrum of diamond ($E = 0$ is the Fermi energy). The momentum, along the horizontal axis is taken in straight line cuts between special labeled points in the Brillouin zone. Figure is from J. R. Chelikowsky and S. G. Louie, *Phys. Rev. B* **29**, 3470 (1984), http://prb.aps.org/abstract/PRB/v29/i6/p3470_1. Copyright American Physical Society. Used by permission.